

сообщения
объединенного
института
ядерных
исследований
дубна

2354 - 2 - 80

2-80-66

В.С.Ставинский

УНИВЕРСАЛЬНОСТЬ А-ЗАВИСИМОСТИ
ПОЛНЫХ СЕЧЕНИЙ
НЕУПРУГИХ ВЗАИМОДЕЙСТВИЙ ЯДЕР
И ПИОНОВ С ЯДРАМИ

1980

В настоящее время имеется большое количество работ, посвященных измерению полных неупругих сечений взаимодействий релятивистских ядер при энергиях больше 1 ГэВ/нуклон с различными ядрами.

Измерения, выполненные на ускорителях Дубны^{/1-4/} и Беркли^{/5-7/}, указывают на более слабую зависимость величин сечений от размеров ядра-мишени /A-зависимость/ с ростом атомного веса ядра-снаряда: p, d, a, c. Эта закономерность была просто объяснена в работе^{/8/} с помощью геометрической модели взаимодействующих ядер с перекрытием ΔR :

$$\sigma_{in} = \pi(R_i + R_t - \Delta R)^2, \quad /1/$$

где R_i и R_t - радиусы ядер снарядов и мишени, соответственно.

В работах группы Института теоретической и экспериментальной физики^{/9,10/}, посвященных прецизионным измерениям полных неупругих сечений взаимодействия протонов и пионов с различными ядрами при энергиях до 10 ГэВ, также отмечается более сильная A-зависимость пион-ядерных взаимодействий по сравнению с протон-ядерными. Заметим также, что простое правило кваркового счета /протон-протонное сечение в 1,5 раза превышает пион-протонные в соответствии с числом валентных夸克ов в протоне и пионе/ для взаимодействия протонов и пионов с ядрами не выполняется.

В данной работе делается попытка объяснить перечисленные особенности неупругих взаимодействий с единой точки зрения. Для анализа мы используем экспериментальные данные пион-ядерных взаимодействий при импульсе пионов 6,5 ГэВ/с и протон-ядерные при импульсе протона 9 ГэВ/с. Основной объем экспериментального материала по ядро-ядерным взаимодействиям получен в Дубне и соответствует импульсу на нуклон взаимодействующих ядер около 4÷5 ГэВ/с. Экспериментальные данные^{/5-7/} получены при меньших энергиях - около 2÷3 ГэВ/с на нуклон. В тех случаях, если имеются идентичные измерения, данные Беркли превышают данные Дубны на ~10%. Поэтому все величины неупругих сечений, полученные в Беркли, уменьшены на 10%.

Предполагая, что радиусы ядер с атомным весом A удовлетворяют закону равной плотности ядер

$R = r_0 A^{1/3}$,
можно привести соотношение /1/ к виду

$$\sigma_{in} = \pi r_0^2 (A_i^{1/3} + A_t^{1/3} - a)^2. \quad /2/$$

В соответствии с равной "кварковой-плотностью" мы будем считать, что для пиона $A_\pi = 2/3$.

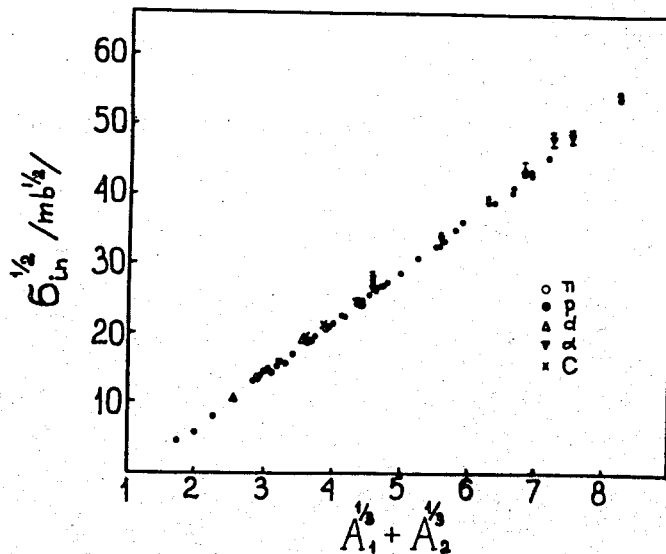


Рис.1

На рис.1 показаны экспериментальные величины $\sigma_{in}^{1/3}$ пион-ядерных (○), протон-ядерных (●), дейtron-ядерных (Δ), альфа-ядерных (▽) и углерод-ядерных (×) взаимодействий в зависимости от суммы:

$$A_i^{1/3} + A_t^{1/3},$$

где $i = \pi, p, d, \alpha, C$ и $t = p, d, \alpha, C$. На рисунке не показана величина $\sigma_{in}(C, Ta)/8$, на много стандартных ошибок отклоняющаяся от общей зависимости.

На основе данных рис.1 можно сделать следующие выводы:

1. Полные поперечные сечения неупругих взаимодействий в первом приближении описываются соотношением /2/ для указанного набора i и t , причем параметры в соотношении /2/ равны $r_0 = 1,48 \cdot 10^{-13}$ см, $b = 1,32$.

2. В представлении соотношения /2/ пион-ядерные и протон-ядерные сечения неупругих взаимодействий совпадают. Следовательно, наблюдаемые на опыте различия в этих взаимодействиях объясняются разницей в аргументе A_i .

3. Найденной зависимости удовлетворяют и $p\pi$ и $p\bar{p}$ -взаимодействия. Более того, экстраполяция зависимости к $A_i = A_t = 1/3$ дает разумную величину кварк-кваркового взаимодействия.

Экспериментальный материал рис.1 показан на рис.2 в другом представлении. По оси ординат отложена величина эффективного сечения кварк-кваркового взаимодействия

$$\sigma(qq) = \sigma_{in} / N_1 \cdot N_2,$$

где N_1 и N_2 - число валентных夸克ов взаимодействующих частиц ($N=3$ для нуклона и $N=2$ для пиона). По оси абсцисс - произведение $N_1 \cdot N_2$.

Из рис.2 видно, что с ростом аргумента эффективное сечение неупругого кварк-кваркового взаимодействия монотонно падает; причем это падение тем сильнее, чем больше составляющих夸克ов в частице-снаряде (обозначения такие же, как на рис.1). Проявляется более сильное экранирование夸克ов в частице-снаряде.

Поскольку нам известен закон (соотношение /2/), описывающий неупругие взаимодействия простых и сложных ядер, определим аргумент в виде

$$\omega = 0,397 \frac{N_1 N_2}{(N_1^{1/3} + N_2^{1/3} - 1,37)^2}.$$

/3/

На рис.3 показана зависимость $\sigma(qq)$ от ω . Видно, что эффективное кварк-кварковое сечение неупругого взаимодействия для взаимодействующих ядер уменьшается в 30 раз с ростом аргумента. При стремлении N_1 и N_2 к единице получаем поперечное сечение свободного кварк-кваркового неупругого взаимодействия: $\sigma(qq) \approx 3,5$ мб.

Из рисунка также видно, что экранирующее влияние夸克ов для $p\pi$ - и даже $p\bar{p}$ -взаимодействий слабое.

Заметим, что переменная ω при $N_2 \gg N_1$ равна

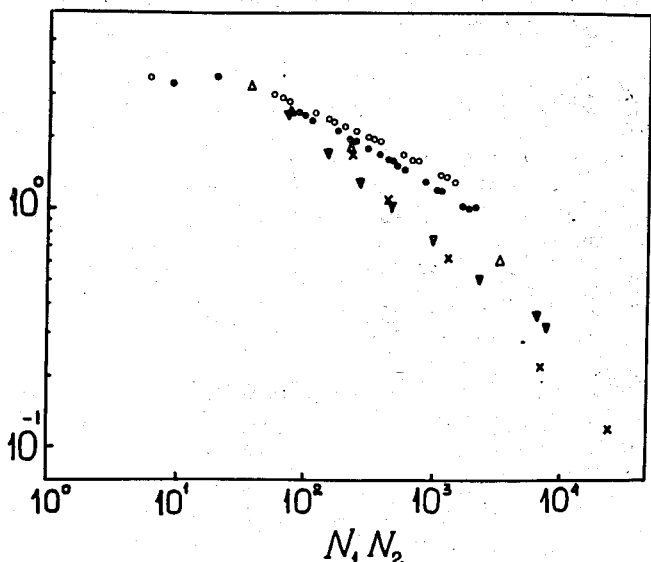
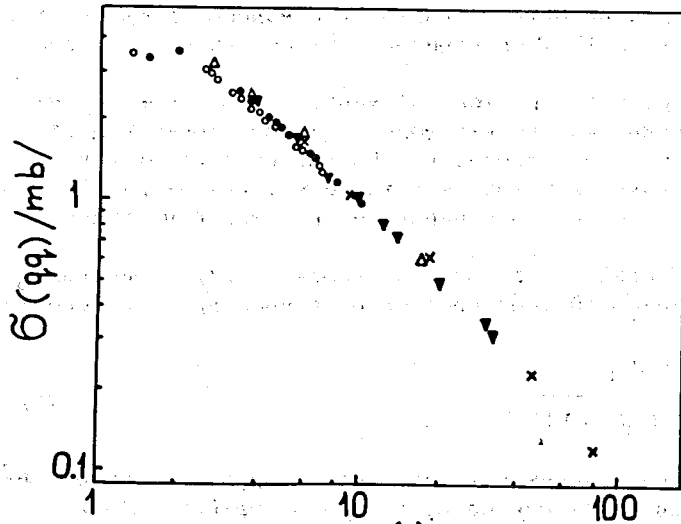


Рис.2



т.е. пропорциональна объему налетающего адрона и радиусу ядрамищени.

Константы 1,37 в выражении /3/, а в /2/ и ΔR в /1/ имеют общую природу. Из условия $d\omega > 0$ или более мягкого $\omega(1,2) \geq \omega(1,1)$ /аргумент для взаимодействия кварка с пионами больше либо равен аргументу взаимодействия кварка с кварком/ следует, что эта константа $\leq 1,37$. Следовательно, предлагаемое описание неупругих взаимодействий в этом смысле не содержит свободных //подгоночных// параметров, если $\sigma_{in}(1,2) = \sigma_{in}(1,1)$.

ЛИТЕРАТУРА

1. Бокова Л.Н. и др. ОИЯИ, Р1-9364, Дубна, 1975.
2. Аникина М.Х. и др. ОИЯИ, Р1-10592, Дубна, 1977.
3. Аблеев В.Г. и др. ОИЯИ, Р1-10565, Дубна, 1977.
4. Abdurahmanov B.D. et al. JINR, E1-11517, Dubna, 1978.
5. Jaros J.A. EBL-3849, Berkeley, 1975.
6. Lindsbröm P.J. et al. Proc. 14th Int. Conf. on Cosmic Rays. Munich, 1975, p.2315; Heckman H.H. et al. Phys.Rev., 1978, C17, p.1735.
7. Cheshire D.L. et al. Phys.Rev., 1974, D10, p.25.
8. Ахабабян Н. и др. ОИЯИ, 1-12114, Дубна, 1979.
9. Fyodorov V.B. et al. ITEP, 1977, 86.
10. Бобченко Б.М. и др. ИТЭФ-15, 1979.

Рукопись поступила в издательский отдел
29 января 1980 года.